

칼만 필터를 이용한 레이다 추적계의 비교연구

임청부* · 위상규(서울대학교)

1. 序 論

레이이다로 어떤 目標物(Target)을 追跡(Tracking) 할 때 보다 정확하게 目標物의 위치, 속도, 각속도 등을 推定해내야 한다. 이때 가장 정확하게 推定해내려면 모든 상태변수를 测定裝備로부터 测定해내면 된다. 그러나 모든 상태변수를 测定할 때 각 상태변수에 添加되는 雜音을 고려해보면 모든 상태변수를 测定하는 것이 理想의 이라고 할 수 있는 경우가 있다. 즉 어떤 변수는 雜音에 敏感하여 오히려 전체 追跡系에 나쁜 영향을 줄 수가 있기 때문이다. 또한 测定裝備의 가격이라든지 크기, 무게 등 여러 要因 때문에 모든 상태변수를 测定할 필요가 없게 된다.

따라서 많은 상태변수 중 몇 개만을 测定하여 雜音의 영향을 적게 받으면서 전체 상태변수들의 誤差共分散行列의 對角項들(분산)을 最小화하는 것이 필요하게 된다. 이러한 작업을 하는 대표적인 것으로는 칼만필터가 있다. 칼만필터의 종류는 플랜트의 상태방정식의 형태(連續 또는 離散)와 测定式의 형태(連續 또는 離散)에 따라 여러 가지의 조합이 있을 수 있다.

本論文에서 测定式은 離散式을 사용했으며 플랜트의 상태 방정식은 連續(Continuous)인 경우와 離散(Discrete)

인 경우를 다루었다. 레이다는 지상 레이다로 잡았으며 플랜트의 모델은 短距離 모델로 高度가 5000 m에서 速度가 300 m/sec로 等速 水平飛行하는 항공기를, 長距離 모델로 高度가 200 Km 인 圓軌道를 7.79 Km/sec의 速度로 도는 인공위성으로 했으며 각각 모델의 거리와 각도만을 측정하여 전체 상태변수인 거리, 속도, 각도, 각속도를 120 초 동안 推定하도록 하였다.

초기의 칼만필터형식은 離散방식으로부터 출발하였으며 連續방식은 離散방식으로부터 유도되었다. 현재는 진보된 컴퓨터기술로 인해 離散방식이 보다 보편화되어 있다.

本論文의 주된 방향은 플랜트의 상태방정식이 非線形이면서 連續일 경우를 線形이면서 離散形인 경우로 바꿀 때 생기는 여러 가지 문제점 을 短距離모델과 長距離모델에 대해서 比較研究하였다.

2. 모 델

2.1 短距離 모델

飛行高度 5000m에서 속도가 300m/sec로 等速水平飛行하는 目標物의 거리, 각도만을 测定하여

거리, 속도, 각도, 각속도를 120초 동안 推定하는 문제

A) 测定間隔이 T = 1 초일때

B) 测定間隔이 T = 2 초일때

初期值

$$v_o = v = 300 \text{ (m/sec)} \quad (2-1)$$

$$x_o = 5000 \text{ (m)}$$

$$h_o = h = 5000 \text{ (m)}$$

$$\theta = ATAN2(h_o, x_o) = 45^\circ$$

정확한식

$$\begin{cases} x = x_o + vt \\ r = \sqrt{x^2 + y^2} \\ \dot{r} = v \cos\theta \\ \theta = ATAN2(y, x) \\ \dot{\theta} = -\frac{v}{r} \sin\theta \end{cases} \quad (2-2)$$

測定器의 標準偏差

$$\sigma = 30 \text{ (m)}$$

$$\sigma = 0.1^2 = 1.7453E-3 \text{ (rad)} \quad (2-3)$$

2.2 長距離 모델

飛行高度 200 Km에서 속도가 7.79Km/sec로 圓軌道上 等速度 운동하는 인공위성의 거리와 각도만을 测定하여

目標物의 거리, 속도, 각도, 각속도를 120초동안 推定하는 문제

A) 测定間隔이 T = 1 초일때

B) 测定間隔이 T = 1 초일때

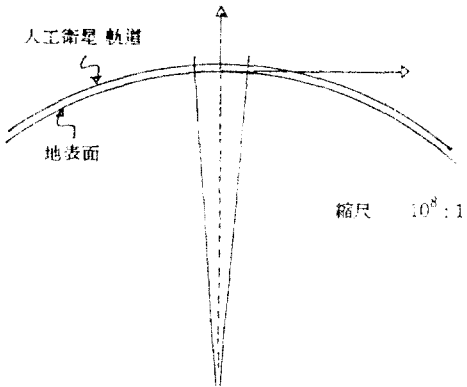


Figure 2-2 Assumption of Orbit

$$\text{인공위성周期} \quad T = 88 \text{ (min)} \quad (2-4)$$

$$\text{지구반지름} \quad R = 6400 \text{ (Km)}$$

$$\text{인공위성의 高度} \quad h = 200 \text{ (km)}$$

$$120 \text{ 초 동안의 飛行距離} \quad s = vt = 7.79 * 120$$

$$= 934.8 \text{ (km)}$$

$$120 \text{ 초 동안의 飛行角度} \quad 88 / 360 = 2 \times$$

$$x = 720 / 88 = 8.18^\circ$$

初期位置

$$x_o = -934.8 / 2 = -467.4 \text{ (Km)} \quad (2-5)$$

$$y_o = 200 \text{ (Km)}$$

$$\theta_o = ATAN2(y_o, x_o) = 156.83^\circ$$

$$r_o = 508.39 \text{ (Km)}$$

정확한 계산식은 短距離모델과 같다.

測定器의 標準偏差

$$\sigma_r = 2000 \text{ (m)} \quad (2-6)$$

$$\sigma_\theta = 2^\circ = 3.4907E-2 \text{ (rad)}$$

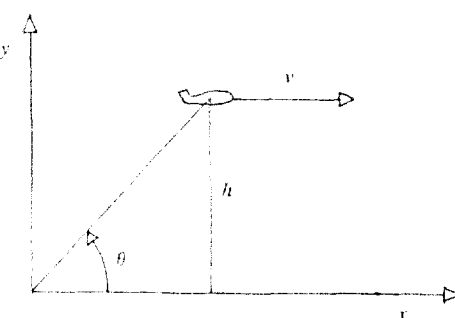


Figure 2-1 Short Range Model

縮尺 10⁷ : 1

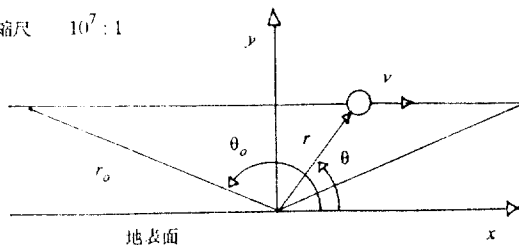


Figure 2-3 Long Range Model

3. 本論文에서 사용한 칼만필터의 모델

3-1 連續-離散型 칼만 필터 (C-DKF)

문제를 간단히 하기 위해서 r, θ 는 测定時間 동안에 크게 변하지 않는다고 假定한다.

$$\dot{r} \approx 0 \quad (3-1)$$

$$\dot{\theta} \approx 0$$

i) 때 测定時間 동안에 실제 $\dot{r}, \dot{\theta}$ 와 작은 변화를 고려하기 위해 雜音을 다음과 같이 둔다.

$$\frac{d}{dt}\dot{r} = w_1(t), \quad w_1 \approx (0, Q) \quad (3-2)$$

$$\frac{d}{dt}\dot{\theta} = w_2(t), \quad w_2 \approx (0, R)$$

$w_1(t), w_2(t)$ 를 생각하는 이유는 모델의 방정식에서 非線形 항들을 무시해서 생기는 모델화 되지 않은 식의 영향을 補償해 주기 위해서이다.

$w(t)$: Maneuver noise (Process noise : 狀態 雜音)

따라서 앞식 은 다음과 같이 간단하게 될수 있다.

$$\dot{r} = \dot{r} \\ \ddot{r} = w_1(t) \quad (3-3)$$

$$\dot{\theta} = \dot{\theta}$$

$$\ddot{\theta} = w_2(t)$$

$$\frac{d}{dt} \begin{bmatrix} r \\ \dot{r} \\ \theta \\ \dot{\theta} \end{bmatrix} = \begin{bmatrix} 0 & 1 & 0 & 0 \\ 0 & 0 & 0 & 0 \\ 0 & 0 & 0 & 1 \\ 0 & 0 & 0 & 0 \end{bmatrix} \begin{bmatrix} r \\ \dot{r} \\ \theta \\ \dot{\theta} \end{bmatrix} + \begin{bmatrix} 0 \\ w_1(t) \\ 0 \\ w_2(t) \end{bmatrix} \quad (3-4)$$

$$\dot{x} = Ax + w(t)$$

레이더로 测定하는 것은 거리와 각도뿐이므로

$$z(k) = \begin{bmatrix} 1 & 0 & 0 & 0 \\ 0 & 0 & 1 & 0 \end{bmatrix} \begin{bmatrix} r \\ \dot{r} \\ \theta \\ \dot{\theta} \end{bmatrix} + \begin{bmatrix} v_1(k) \\ v_2(k) \end{bmatrix} \quad (3-5)$$

$$z(k) = Hx(k) + v(k)$$

狀態 雜音 誤差 共分散 (Q)을 구하기 위해 雜音 가속도가 最大, 最小 가속도 ($+a, -a$) 사이에서 서로 獨立的이고 確率密度函數가 均一하게 分布되어 있다고 假定하면

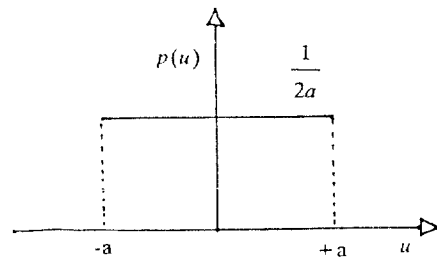


Figure 3-1 Probability Density Function

$$\text{平均 } m = \int_{-a}^a \frac{1}{2a} du = 0 \quad (3-6)$$

$$\text{分散 } V(x) = E(x^2) - E(x)^2 = E(x)^2 \quad (3-7)$$

$$\sigma_w^2 = \int_{-a}^a u^2 p(u) du - m^2$$

$$Q = E[w(t)w^T(t)] \quad (3-8)$$

$$R_d = E[v(k)v^T(k)] \quad (3-9)$$

$$Q = \begin{bmatrix} 0 & 0 & 0 & 0 \\ 0 & a^2/3 & 0 & 0 \\ 0 & 0 & 0 & 0 \\ 0 & 0 & 0 & a^2/3r^2 \end{bmatrix}$$

$$R_d = \begin{bmatrix} \sigma_r^2 & 0 \\ 0 & \sigma_\theta^2 \end{bmatrix}$$

플랜트의 상태 방정식

$$\dot{x} = Ax + w(t) \quad (3-10)$$

測定式

$$z(k) = Hx(k) + v(k) \quad (3-11)$$

時間展開式 (Time Update)

$$\dot{x} = Ax \quad (3-12)$$

Lyapunov Equation

$$\dot{P} = AP + PA^T + GQG^T \quad (3-13)$$

測定展開式 (Measurement Update)

$$K(k) = M(k)H^T(k)[H(k)M(k)H^T(k) + R_d]^{-1}$$

$$P(k) = [I - K(k)H(k)]M(k) \quad (3-14)$$

$$\hat{x}(k) = \bar{x}(k) + K(k)[z(k) - H(k)\bar{x}(k)]$$

初期値

$$\hat{x}(0) = \bar{x}_o \quad (3-15)$$

$$P_o = P(0)$$

3-2 離散-離散型 칼만 필터 (D-DKF)

連續-離散型 칼만필터 모델을 離散-離散型 칼만 필터

모델로 바꾸게되면

$$\phi = e^{AT} \quad (3-16)$$

$$\begin{aligned} &= I + AT + \frac{A^2 T^2}{2!} + \dots + \frac{A^k T^k}{k!} + \dots \\ \phi &= I + AT = \begin{bmatrix} 1 & 0 & 0 & 0 \\ 0 & 1 & 0 & 0 \\ 0 & 0 & 1 & 0 \\ 0 & 0 & 0 & 1 \end{bmatrix} + \begin{bmatrix} 0 & T & 0 & 0 \\ 0 & 0 & 0 & 0 \\ 0 & 0 & 0 & T \\ 0 & 0 & 0 & 0 \end{bmatrix} \\ &= \begin{bmatrix} 1 & T & 0 & 0 \\ 0 & 1 & 0 & 0 \\ 0 & 0 & 1 & T \\ 0 & 0 & 0 & 1 \end{bmatrix} \end{aligned}$$

$$Q_d = \int_0^T e^{AT} G Q G^T e^{AT} d\tau \quad (3-17)$$

$$Q_d = \begin{bmatrix} pT^3/3 & pT^2/2 & 0 & 0 \\ pT^2/2 & pT & 0 & 0 \\ 0 & 0 & qT^3/3 & qT^2/2 \\ 0 & 0 & qT^2/2 & qT \end{bmatrix}$$

$$R_d = \begin{bmatrix} \sigma_r^2 & 0 \\ 0 & \sigma_\theta^2 \end{bmatrix} \quad \text{단 } p = \frac{a^2}{3}, q = \frac{a^2}{3r^2} \quad (3-18)$$

플랜트의 상태방정식

$$x(k+1) = \phi(k)x(k) + w(k) \quad (3-19)$$

測定式

$$z(k) = H(k)x(k) + v(k) \quad (3-20)$$

時間展開式 (Time Update)

$$\bar{x}(k+1) = \phi(k)x(k) \quad (3-21)$$

$$M(k+1) = \phi(k)P(k)\phi^T(k) + Q_d$$

測定展開式 (Measurement Update)

$$K(k) = M(k)H^T(k)[H(k)M(k)H^T(k) + R_d]^{-1}$$

$$P(k) = [M^{-1} + H^T(k)R_d^{-1}H(k)]^{-1} \quad (3-22)$$

$$= [I - K(k)H(k)]M(k)$$

$$\hat{x}(k) = \bar{x}(k) + K(k)[z(k) - H(k)\bar{x}(k)]$$

初期値

$$\hat{x}(0) = \bar{x}_o \quad (3-23)$$

$$P_o = P(0)$$

3-3 擴張형 칼만필터 (EKF)

플랜트의 非線形 狀態 方정식

$$\begin{cases} \dot{r} = \dot{r} \\ \dot{r} = -v \dot{\theta} \sin\theta + w_1(t) \\ \dot{\theta} = \dot{\theta} \\ \ddot{\theta} = -\frac{v}{r} \dot{\theta} \cos\theta + \frac{v}{r^2} \dot{r} \sin\theta + w_2(t) \end{cases} \quad (3-24)$$

$$\dot{x} = f(x, u, t) + G(t)w$$

이때 $w_1(t), w_2(t)$ 의 雜音을 넣어주는 이유는 $w_1(t), w_2(t)$ 가 없게되면 칼만필터의 利得이 시간이 지남에 따라 0 으로 收斂하게되어 점점 测定의 의미가 없어지는 것을 방지하기 위해서이다.

Jacobian

$$A(x, t) = \frac{\partial f(x, u, t)}{\partial x} = \begin{bmatrix} 0 & 1 & 0 & 0 \\ 0 & 0 & a1 & a2 \\ 0 & 0 & 0 & 1 \\ a3 & a4 & a5 & a6 \end{bmatrix} \quad (3-25)$$

$$a_1 = -v\dot{\theta}\cos\theta$$

$$a_2 = -v\sin\theta$$

$$a_3 = -\frac{2vr}{r^3}\sin\theta + \frac{v\dot{\theta}}{r^2}\cos\theta$$

$$a_4 = \frac{v}{r^2}\sin\theta$$

$$a_5 = \frac{vr^2}{r^2}\cos\theta + \frac{v\dot{\theta}}{r}\cos\theta$$

$$a_6 = -\frac{v}{r}\cos\theta$$

測定式은線形일때와 같다고 보면

$$z(k) = h[x(k), k] + v(k) \quad (3-26)$$

時間展開式 (Time Update)

$$\dot{x} = f(\bar{x}, u, t) \quad (3-27)$$

$$\dot{P} = A(\bar{x}, t)P + PA(\bar{x}, t)^T + GQG^T$$

測定展開式 (Measurement Update)

$$K(k) = M(k)H^T(\bar{x}_k)[H(\bar{x}_k)M(k)H^T(\bar{x}_k) + R_d]^{-1} \quad (3-28)$$

$$P(k) = [I - K(k)H(\bar{x}_k)]M(k)$$

$$\bar{x}(k) = \bar{x}(k) + K(k)[z(k) - h(\bar{x}_k, k)]$$

初期值

$$\bar{x}(0) = \bar{x}(0) \quad (3-29)$$

$$P_0 = P(0)$$

Discrete - Discrete Kalman Filter (繼數-離散型 跟踪滤波器)

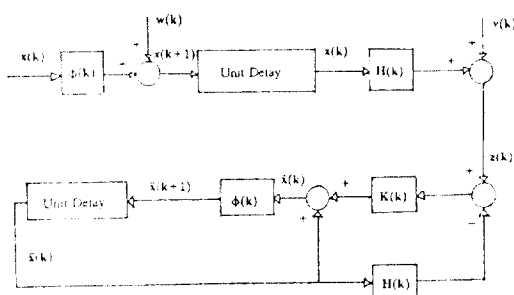


Figure 3-2 D-DKF Algorithm (A)

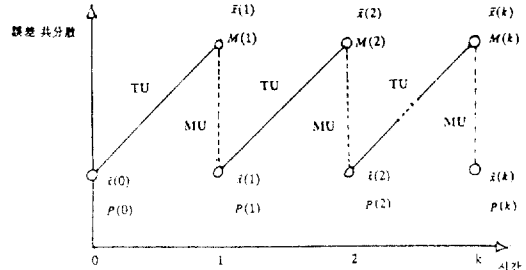


Figure 3-3 D-DKF Algorithm (B)

$$M = E[(x - \bar{x})(x - \bar{x})^T] \quad (3-22)$$

$$P = E[(\bar{x} - x)(\bar{x} - x)^T]$$

Continuous - Continuous Kalman Filter (繼續-連續型 跟踪滤波器)

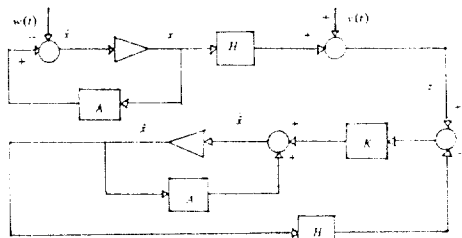


Figure 3-4 C-CKF Algorithm

시뮬레이션 할 때 사용된 데이터들

短距離 모델		長距離 모델	
時間 間隔	最大 加速度	時間 間隔	最大 加速度
T = 1 (sec)	$a = 1 (m/sec^2)$	T = 4 (sec)	$a = 1000 (m/sec^2)$
	$a = 5 (m/sec^2)$		$a = 10 (m/sec^2)$
T = 2 (sec)	$a = 1 (m/sec^2)$	T = 8 (sec)	$a = 1000 (m/sec^2)$
	$a = 5 (m/sec^2)$		$a = 10 (m/sec^2)$

目標物의 初期位置

短距離 모델	長距離 모델
$r_o = 5000 (m)$	$r_o = 400 (Km)$
$\theta_o = 60^\circ$	$\theta_o = 135^\circ$

各裝置의 標準偏差

短距離 모델	長距離 모델
$\sigma_r = 30 (m)$	$\sigma_r = 2000 (m)$
$\sigma_\theta = 0.1^\circ$	$\sigma_\theta = 2^\circ$

TABLE 1

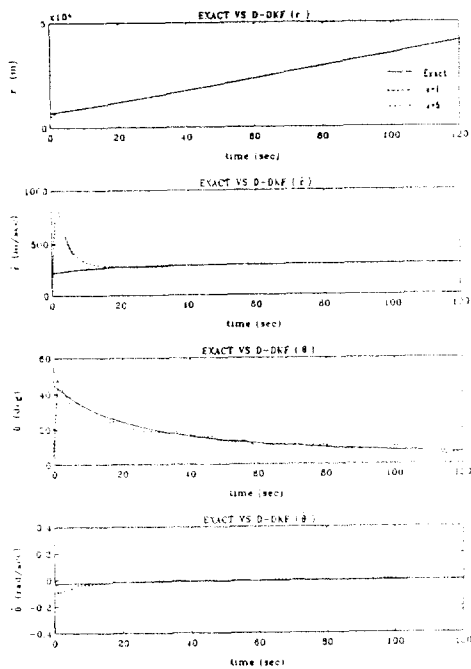


Figure 5-1 Exact VS D-DKF [a=1,a=5,T=1]

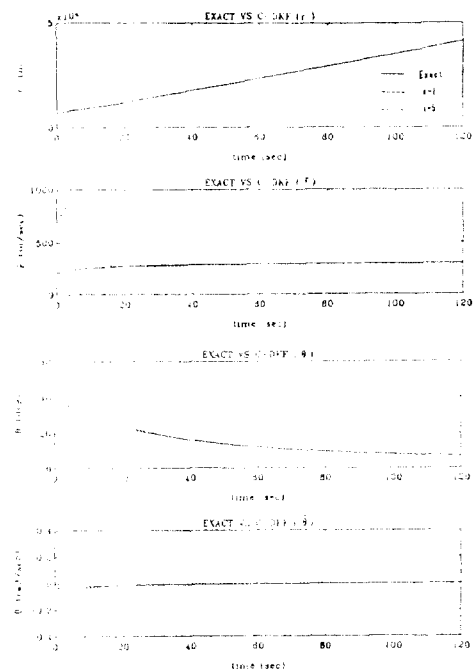


Figure 5-2 Exact VS C-DKF [a=1,a=5,T=1]

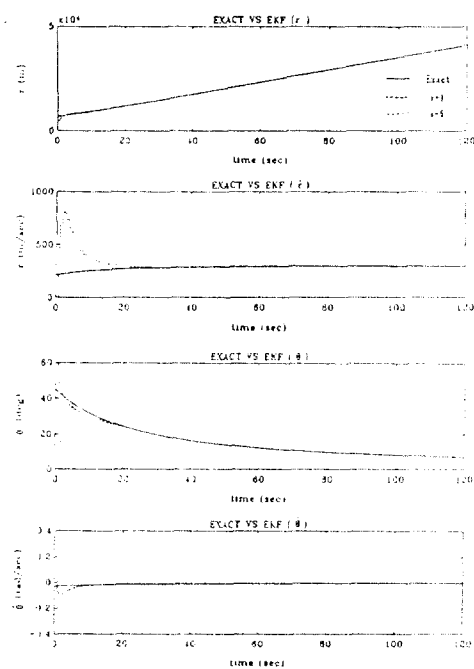


Figure 5-3 Exact VS EKF [a=1,a=5,T=1]

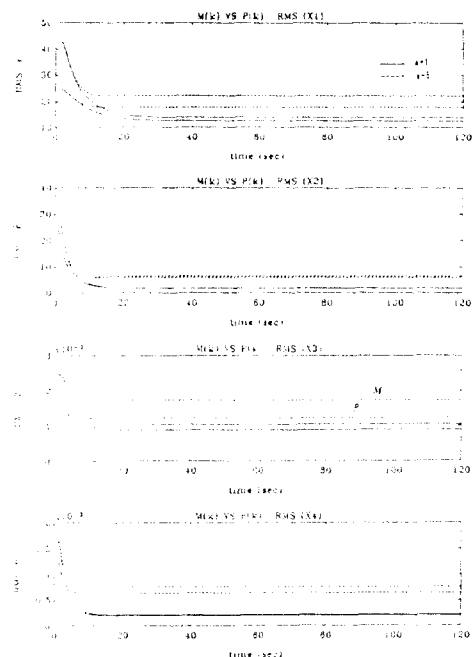


Figure 5-4 RMS(DKF) [a=1,a=5,T=1]

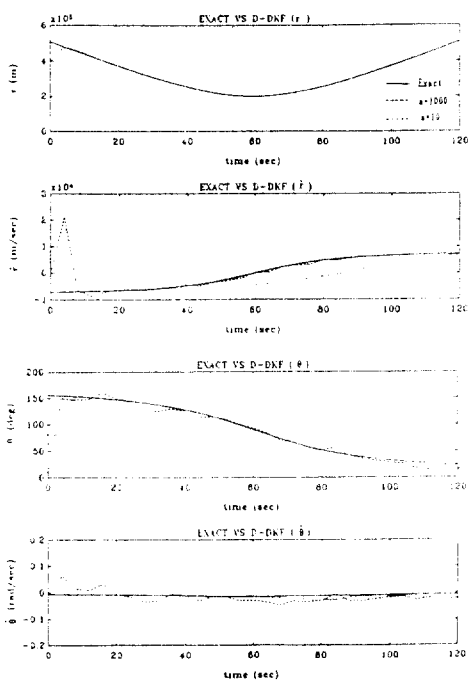


Figure 5-5 Exact VS D-DAKF [$a=1000, a=10, T=4$]

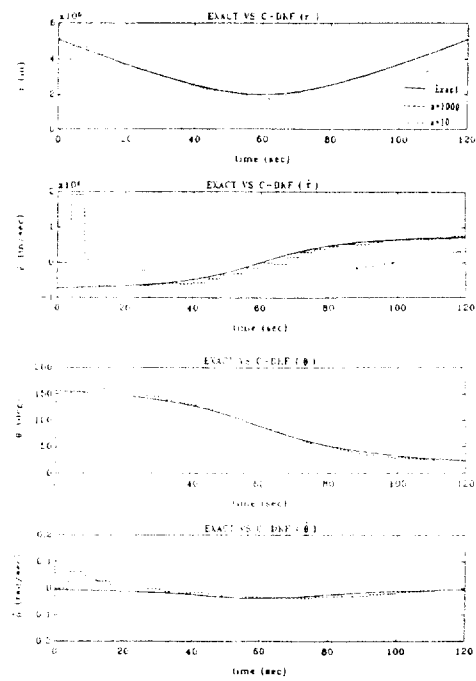


Figure 5-6 Exact VS C-DAKF [$a=1000, a=10, T=4$]

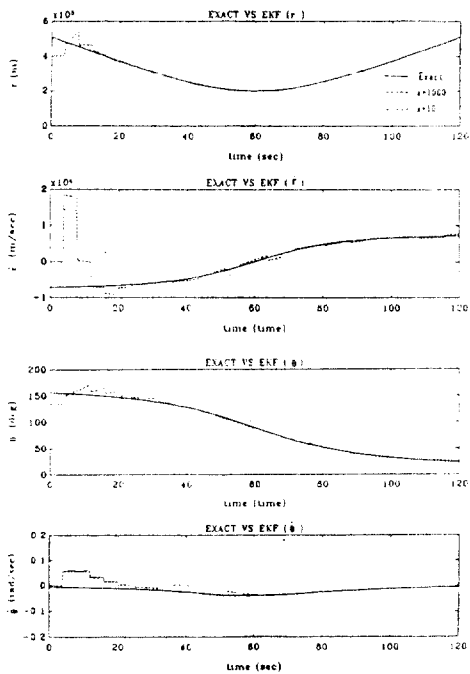


Figure 5-7 Exact VS EKF [$a=1000, a=10, T=4$]

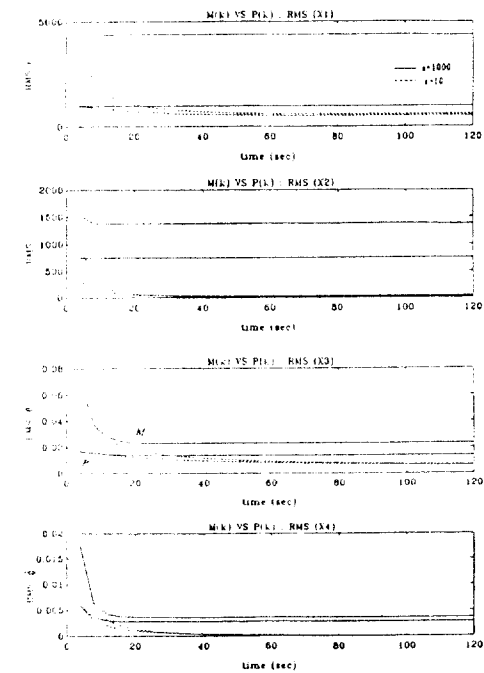


Figure 5-8 RMS(D-DAKF) [$a=1000, a=10, T=4$]

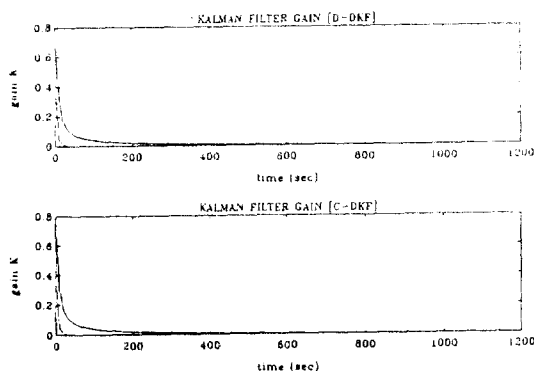
Time(sec)	Steady Kalman Gain (D-DKF)			Steady Kalman Gain (C-DKF)		
	K11	K21	K31	K12	K22	K32
1	0.0007e+001	0.2233e-001	0.4017e-001	0.3221e-001	0.6771e-001	0.6653e-001
100	0.3921e-002	0.4221e-002	0.3921e-002	0.3221e-002	0.6771e-002	0.6653e-002
200	0.3912e-002	0.4212e-002	0.3912e-002	0.3212e-002	0.6770e-002	0.6651e-002
300	0.3913e-002	0.4213e-002	0.3913e-002	0.3213e-002	0.6770e-002	0.6651e-002
400	0.3914e-002	0.4214e-002	0.3914e-002	0.3214e-002	0.6770e-002	0.6651e-002
500	0.3915e-002	0.4215e-002	0.3915e-002	0.3215e-002	0.6770e-002	0.6651e-002
544	0.3915e-002	0.4215e-002	0.3915e-002	0.3215e-002	0.6770e-002	0.6651e-002
588	0.3915e-002	0.4215e-002	0.3915e-002	0.3215e-002	0.6770e-002	0.6651e-002
632	0.3915e-002	0.4215e-002	0.3915e-002	0.3215e-002	0.6770e-002	0.6651e-002
676	0.3915e-002	0.4215e-002	0.3915e-002	0.3215e-002	0.6770e-002	0.6651e-002
720	0.3915e-002	0.4215e-002	0.3915e-002	0.3215e-002	0.6770e-002	0.6651e-002
764	0.3915e-002	0.4215e-002	0.3915e-002	0.3215e-002	0.6770e-002	0.6651e-002
808	0.3915e-002	0.4215e-002	0.3915e-002	0.3215e-002	0.6770e-002	0.6651e-002
852	0.3915e-002	0.4215e-002	0.3915e-002	0.3215e-002	0.6770e-002	0.6651e-002
896	0.3915e-002	0.4215e-002	0.3915e-002	0.3215e-002	0.6770e-002	0.6651e-002
940	0.3915e-002	0.4215e-002	0.3915e-002	0.3215e-002	0.6770e-002	0.6651e-002
984	0.3915e-002	0.4215e-002	0.3915e-002	0.3215e-002	0.6770e-002	0.6651e-002
1028	0.3915e-002	0.4215e-002	0.3915e-002	0.3215e-002	0.6770e-002	0.6651e-002
1072	0.3915e-002	0.4215e-002	0.3915e-002	0.3215e-002	0.6770e-002	0.6651e-002
1116	0.3915e-002	0.4215e-002	0.3915e-002	0.3215e-002	0.6770e-002	0.6651e-002
1160	0.3915e-002	0.4215e-002	0.3915e-002	0.3215e-002	0.6770e-002	0.6651e-002
1204	0.3915e-002	0.4215e-002	0.3915e-002	0.3215e-002	0.6770e-002	0.6651e-002

Table 1. $\text{Kalman Gain (D-DKF)}$

$$\begin{cases} K_{11} = 0.001 \\ K_{21} = 0.4215 \\ K_{31} = 0.3915 \end{cases}$$

Table 2. $\text{Steady Kalman Gain}$

$$\begin{cases} K_{11} = 0.6770 \\ K_{21} = 0.3215 \\ K_{31} = 0.6651 \end{cases}$$

Figure 5-9. Kalman Gain (C-DKF) ($a=0.7-1$)

4. 시뮬레이션 방법

* 시뮬레이션 순서 *

- STEP 1 a(最大加速度) 값을 바꾸어 차례로 C-DKF로 먼저 시뮬레이션 한다.
- STEP 2 C-DKF에서 각 상태변수의 RMS값의 변화를 살펴본다.
RMS값이 차례로면서 RMS값이 주어진KalmanGain의 평균값보다 커지기때문에 측정의 흐름이 없어지므로 보다작은 a값을 선택한뒤 STEP 1 을 되풀이한다.
- STEP 3 a값이 작아짐에 RMS값도 작아지게된다.
RMS값이 너무크면 측정의 흐름이 줄어들어 정확한 상태변수값과 차이가 많이나타난다. 따라서 정확한 상태변수의 평균값이나자기개인시 RMS값이 주어진KalmanGain의 평균값보다 작아지게되는 a값을 찾아낸다.
- STEP 4 C-DKF를 D-DKF로 바꾸어 시뮬레이션한다.
- STEP 5 EKF 시뮬레이션을 한다.
EKF 시뮬레이션은 w(陀螺儀), v(角度轉位), p(角速度), q(轉角)의 分離率의 비율 변화시켜시킨다.
- 확인 $a > 0$ 일때 $K > 0$ 인지를 각각의 모델마다하여 알아본다.

5. 结 論

1-1. a(假定된 最大加速度)가 작아져서 RMS값은 떨어진다. 그러나 狀態雜音을 고려한 推定式에서

状態雜音이 작게되면 시간이 흐름에따라 칼만利得(K)이

작아져서 测定의 效果가 감소하기 때문에 정확한 계산값과

차이가 나게된다.

1-2. a가 커지면 狀態雜音이 커져서 RMS값은 증가한다.

하지만 测定效果는 더 커지므로 정확한 계산값과 차이가 덜 나게된다.

2. $b=0$ 이되면 狀態雜音이 없다는 뜻이며 이때는 狀態雜音을 고려한 测定效果를 기대할수 없으므로 상태변수중 어느값이 발산하는 경우가 생기게된다.

3. 최종적으로 短距離모델($T=1$)에서 EKF,C-DKF,D-DKF는 별차이없이 잘 나타내고 있다. 長距離 모델($T=4$)에서

EKF,C-DKF,D-DKF는 短距離 모델($T=1$)보다 다소 差가 많이나마 이것은 長距離 测定이므로 측정기의 특성에 기인한다. 보다 정확한 推定이 필요할때는 標準偏差가 작은 측정기를 사용해야한다.

4. EKF 모델은 C-DKF,D-DKF 모델보다 a 값의 변화에대해 덜 민감함을 알수있다. 하지만 간단한 모델에대한 EKF는 계산시간이 길고 실제 필터를 設計할때 懶惰 해지는 단점이 있다.

参 考 文 献

1. Arthur E. Bryson , Yu-Chi Ho. "Applied Optimal Control", John Wiley & Sons, 1975
2. Frank L. Lewis , "Optimal Estimation", John Wiley & Sons, 1986
3. S.M. Bozic , "Digital and Kalman Filtering", Edward Arnold , 1979
4. Peter S Maybeck , "Stochastic Models,Estimation and Control", Volume 1 , Academic Press , 1979
5. Meditch , "Stochastic Optimal Linear Estimation and Control", McGRAW - HILL Inc , 1969
6. Andrew P. Sage , Chelsea C. White III , "Optimal Systems Control", PRENTICE - HALL Inc , 1977

7. Robert Grover Brown , "Introduction to Random Signal Analysis and Kalman Filtering"
, John Wiley & Sons, 1983
8. Athanasios Papoulis , "Probability, Random Variables and Stochastic Process"
, PRENTICE - HALL Inc , 1977
9. H.W. Sorenson , "Kalman Filtering Techniques"
, Space Systems Group AC Electronics Division
, General Motors Corporation El Segundo
, California , 1965
10. Paul Katz , "Digital Control using Microprocessors"
, PRENTICE - HALL Inc , 1981
11. James A. Cadzow , Hinrich R. Martens , "Discrete - Time and Computer Control Systems"
, PRENTICE - HALL Inc , 1970
12. 朴 琦培 , "A Study on the Application of the Multivariable Estimation Theory to a Strapdown Inertial Navigation System"
, 서울 대학교 공과대학원 박사 학위 논문 , 1989
13. 柳 東永 , "A study on the Longitudinal Flight Controller Design by using Multirate Discrete Optimal Control"
, 서울 대학교 공과대학원 석사 학위 논문 , 1988
14. 加藤 寛一郎 , "最適制御 入門"
, 東京 大學 出版會 , 1987

